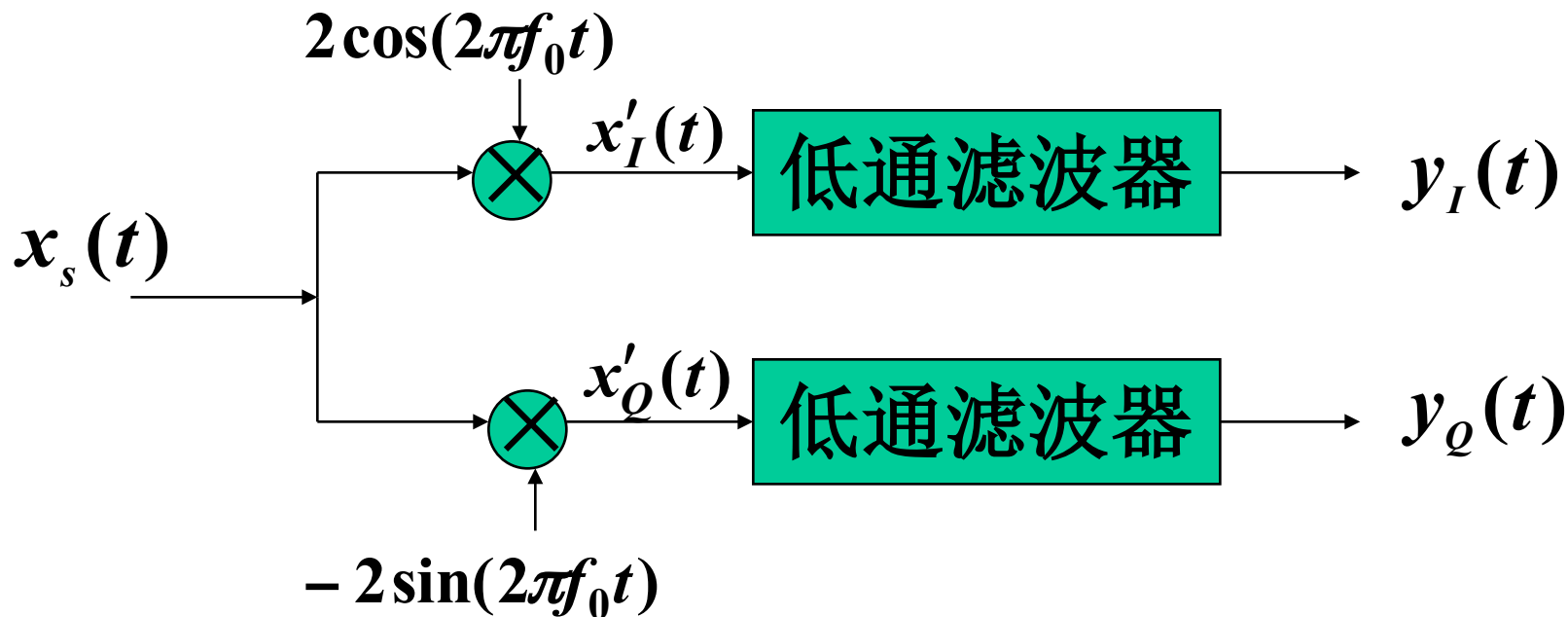


第三章 软件无线电中的数字正交解调

1. 数字正交解调

1.1 正交解调原理

正交相干检波器如下图所示：

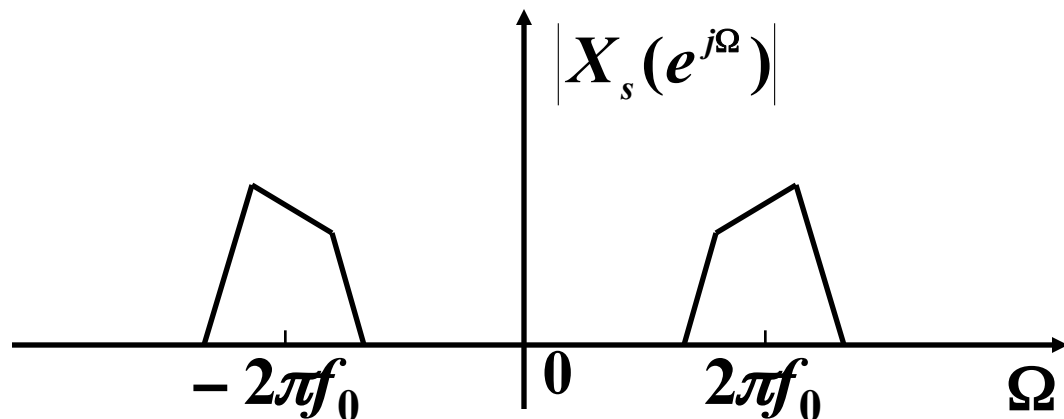


图中 $x_s(t)$ 为中频实信号:

$$x_s(t) = a_s(t) \cos(2\pi f_0 t + \theta_s(t))$$

其中 f_0 为中频频率, $\theta_s(t)$ 为相位。

$x_s(t)$ 的频谱为:



$$\begin{aligned} x'_I(t) &= x_s(t)(2\cos(2\pi f_0 t)) \\ &= a_s(t)(\cos(\theta_s(t)) + \cos(4\pi f_0 t + \theta_s(t))) \end{aligned}$$

通过低通滤波器后：

$$y_I(t) = a_s(t) \cos(\theta_s(t))$$

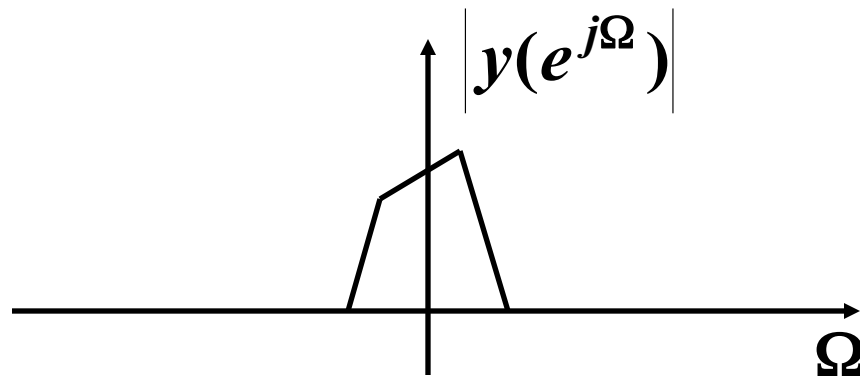
同理有：

$$y_Q(t) = a_s(t) \sin(\theta_s(t))$$

令 $y(t) = y_I(t) + jy_Q(t)$

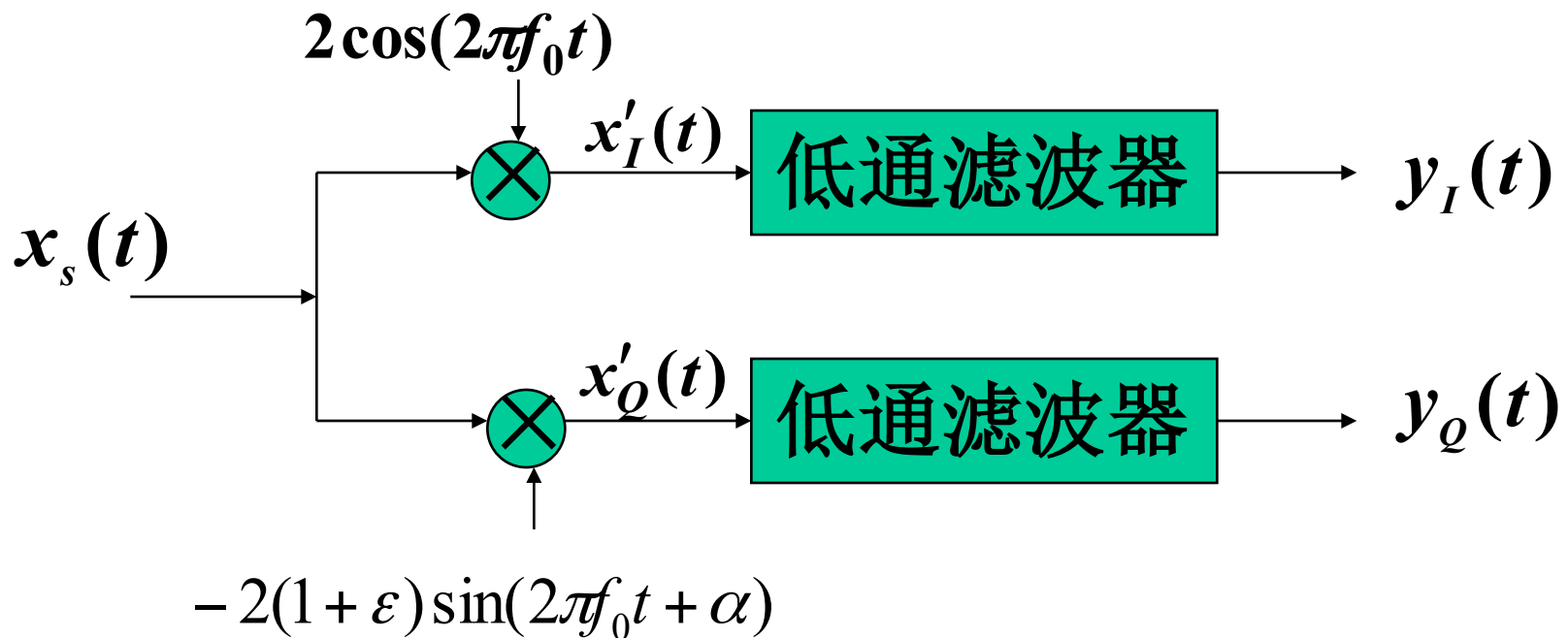
则 $y(t) = a_s(t) \cos(\theta_s(t)) + ja_s(t) \sin(\theta_s(t))$

则 $y(t)$ 为零中频信号，
具有如图所示频谱：



当用模拟电路实现上述正交相干解波器时，**I**支路（同相支路）和**Q**支路（正交支路）之间的幅度很难一致，相位很难正交。

设幅度不平衡为 ε ，相位不平衡为 α ，



$$\begin{aligned}
g(t) &= 2 \cos(2\pi f_0 t) - j2(1 + \varepsilon) \sin(2\pi f_0 t + \alpha) \\
&= \left(1 - (1 + \varepsilon) \cos \alpha - j(1 + \varepsilon) \sin \alpha\right) e^{j2\pi f_0 t} \\
&\quad + \left(1 + (1 + \varepsilon) \cos \alpha - j(1 + \varepsilon) \sin \alpha\right) e^{-j2\pi f_0 t}
\end{aligned}$$

$$g(t) \approx (-\varepsilon - j\alpha) e^{j2\pi f_0 t} + (2 + \varepsilon - j\alpha) e^{-j2\pi f_0 t}$$

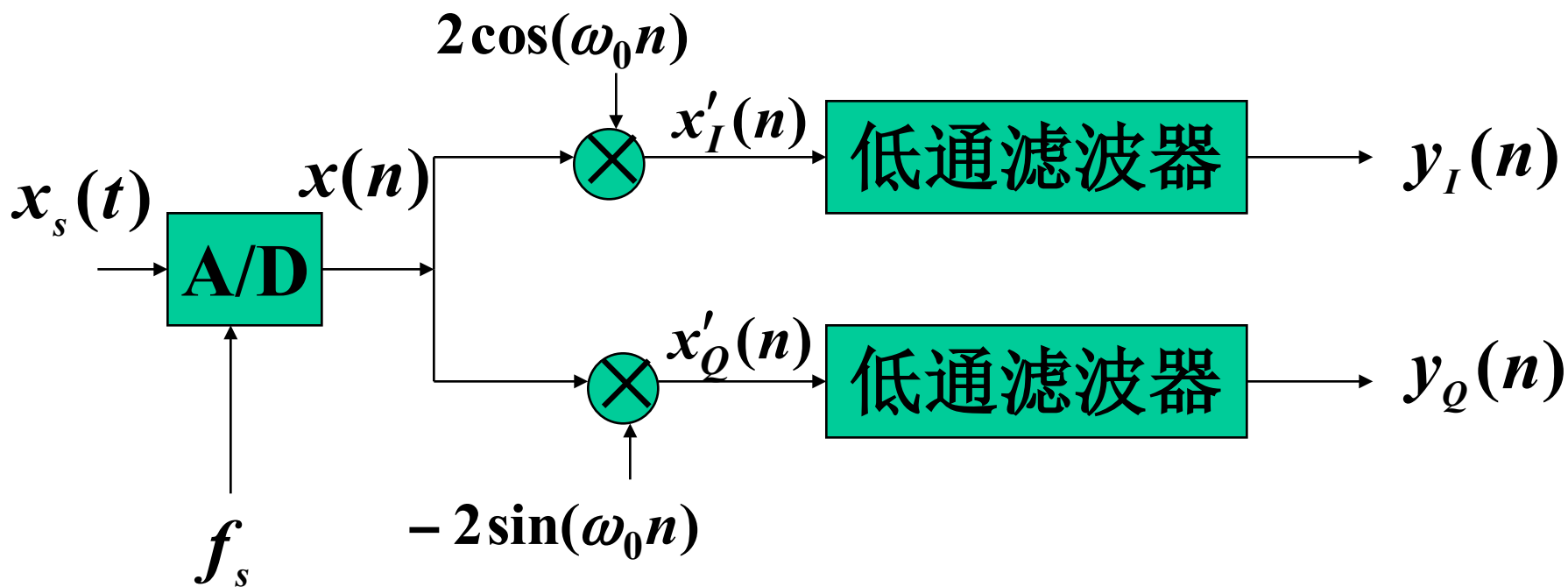
会产生镜频误差，输出有用信号和镜频信号功率之比为：

$$SNR_{dB} = 10 \lg \left(\frac{(2 + \varepsilon)^2 + \alpha^2}{\varepsilon^2 + \alpha^2} \right)$$

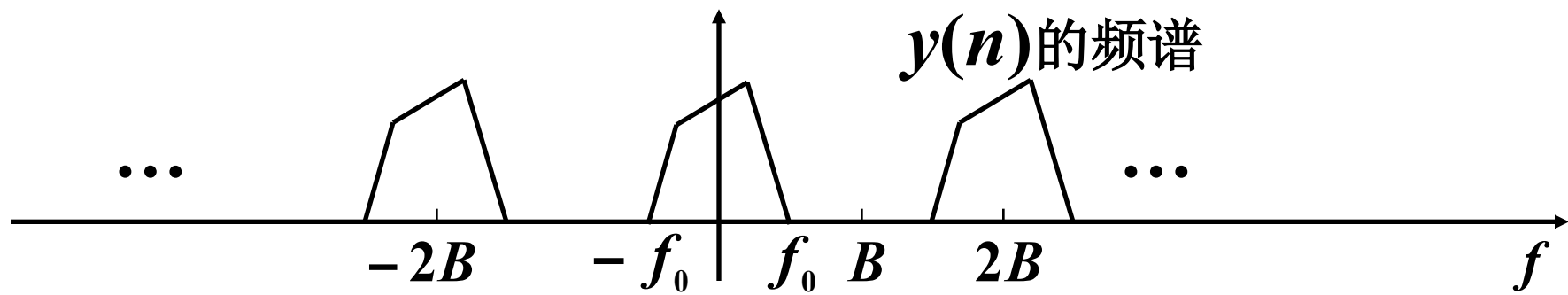
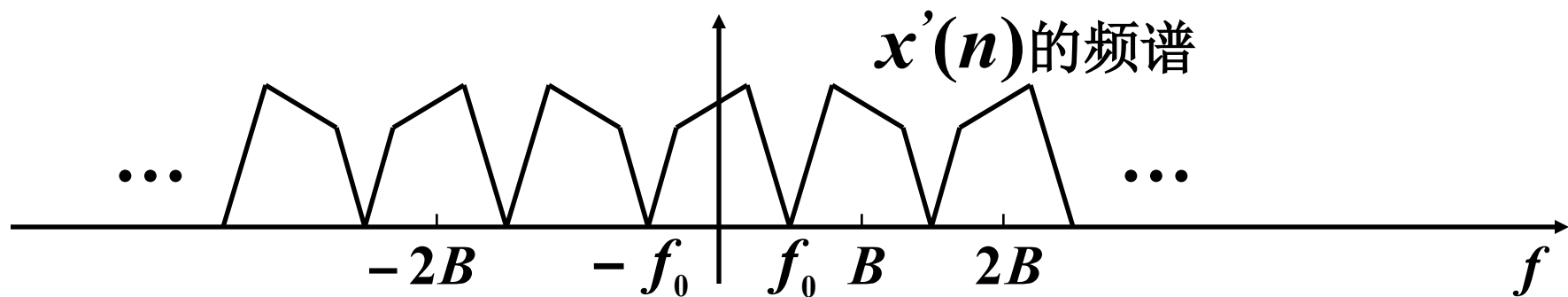
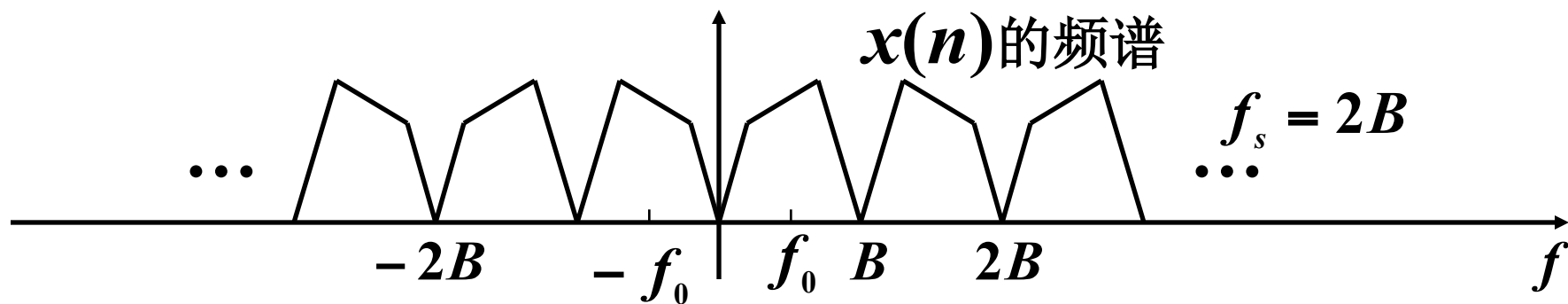
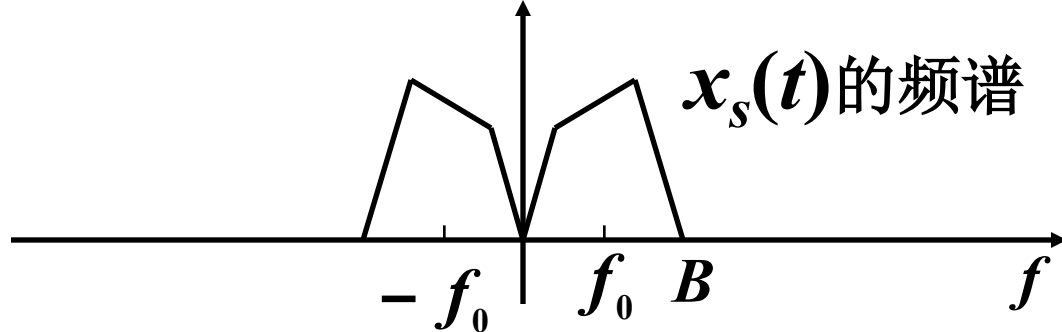
$$SNR_{dB} = 6 + 4.3\varepsilon - 10 \lg(\varepsilon^2 + \alpha^2)$$

当 $\varepsilon = 0.05$, $\alpha = 3^\circ$ 时, $SNR_{dB} = 28.8 \text{ dB}$

1.2 数字混频正交解调



$$\omega_0 = 2\pi f_0 / f_s$$



2. 免混频数字正交解调

设输入信号 $x_s(t) = a_s(t)\cos(2\pi f_0 t + \theta_s(t))$

采样频率 f_s 满足:

$$f_s = \frac{4f_0}{2M-1} \quad M = 1, 2, \dots$$

$$f_s \geq 2B$$

则采样序列 $x(n)$ 为:

$$x(n) = a(n)\cos(2\pi f_0 n / f_s + \theta(n))$$

$$= a(n)\cos(\theta(n))\cos(2\pi f_0 n / f_s) - a(n)\sin(\theta(n))\sin(2\pi f_0 n / f_s)$$

$$= x_I(n) \cos\left(2\pi \frac{2M-1}{4} n\right) - x_Q(n) \sin\left(2\pi \frac{2M-1}{4} n\right)$$

其中

$$x_I(n) = a(n) \cos(\theta(n))$$

$$x_Q(n) = a(n) \sin(\theta(n))$$

假定 M 为奇数，则

$$\cos\left(2\pi \frac{2M-1}{4} n\right) = \cos(n\pi / 2)$$

$$= \begin{cases} (-1)^{n/2}, & \text{for } n \text{ even} \\ 0, & \text{for } n \text{ odd} \end{cases}$$

$$\sin\left(2\pi \frac{2M-1}{4} n\right) = \sin(n\pi / 2)$$

$$= \begin{cases} (-1)^{(n-1)/2}, & \text{for } n \text{ odd} \\ 0, & \text{for } n \text{ even} \end{cases}$$

$$x(n) = \begin{cases} (-1)^{n/2} x_I(n) & n \text{为偶数} \\ -(-1)^{(n-1)/2} x_Q(n) & n \text{为奇数} \end{cases}$$

$$= \{x_I(0), -x_Q(1), -x_I(2), x_Q(3), \dots\}$$

数字本振计算得：

$$\cos(\pi n / 2) = \{1, 0, -1, 0, 1, 0, -1, \dots\}$$

$$-\sin(\pi n / 2) = \{0, -1, 0, 1, 0, -1, 0, \dots\}$$

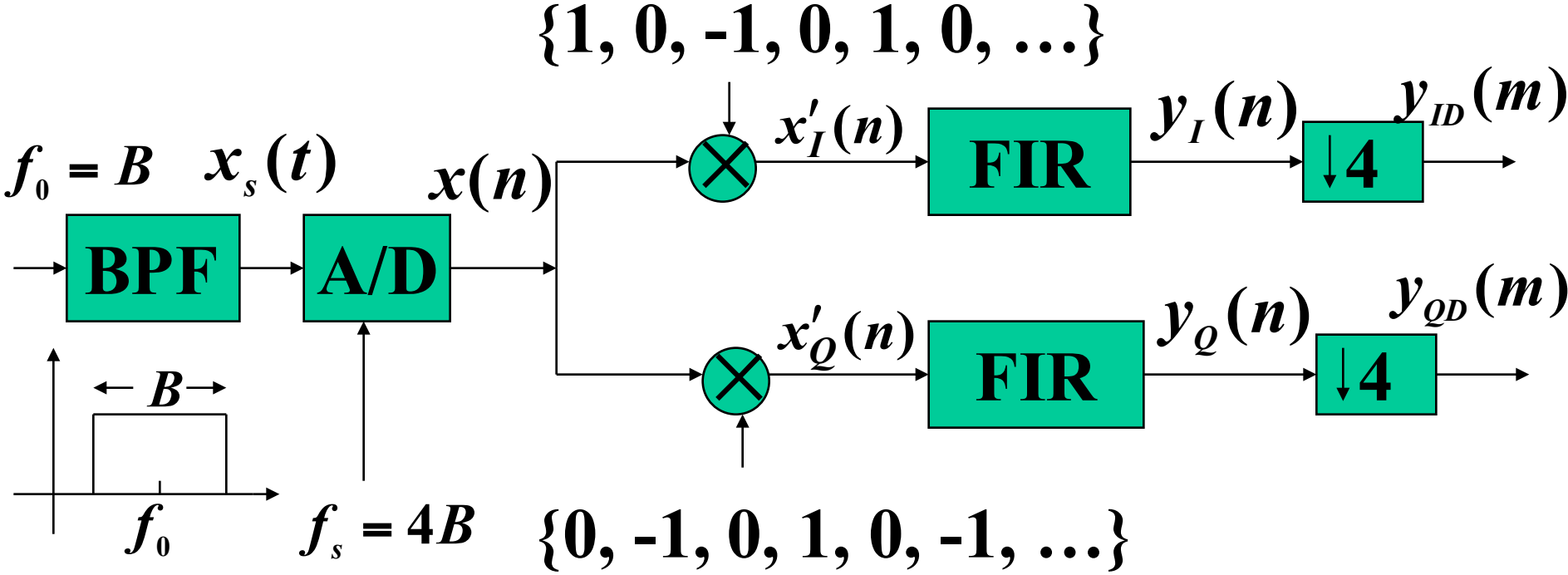
可见，数字下变频已不需要乘法器了，只需符号修正。下变频输出为：

$$x'_I(n) = \{x_I(0), 0, x_I(2), 0, x_I(4), \dots\}$$

$$x'_Q(n) = \{0, x_Q(1), 0, x_Q(3), 0, \dots\}$$

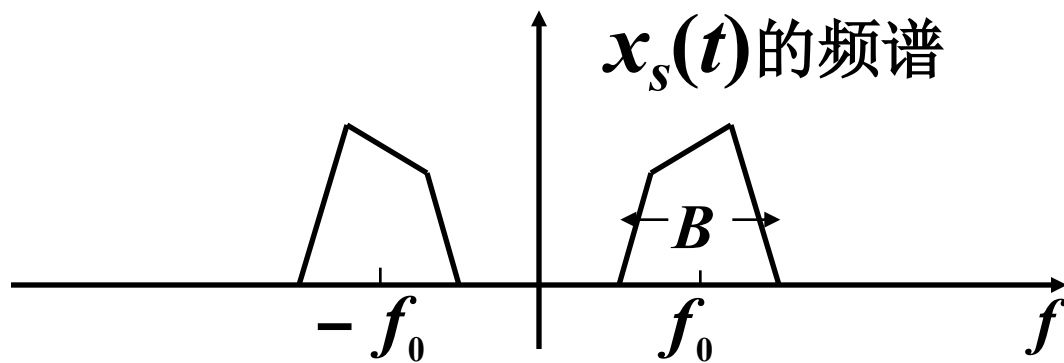
交替得到所需的同相和正交分量。

2.1 FIR低通滤波法

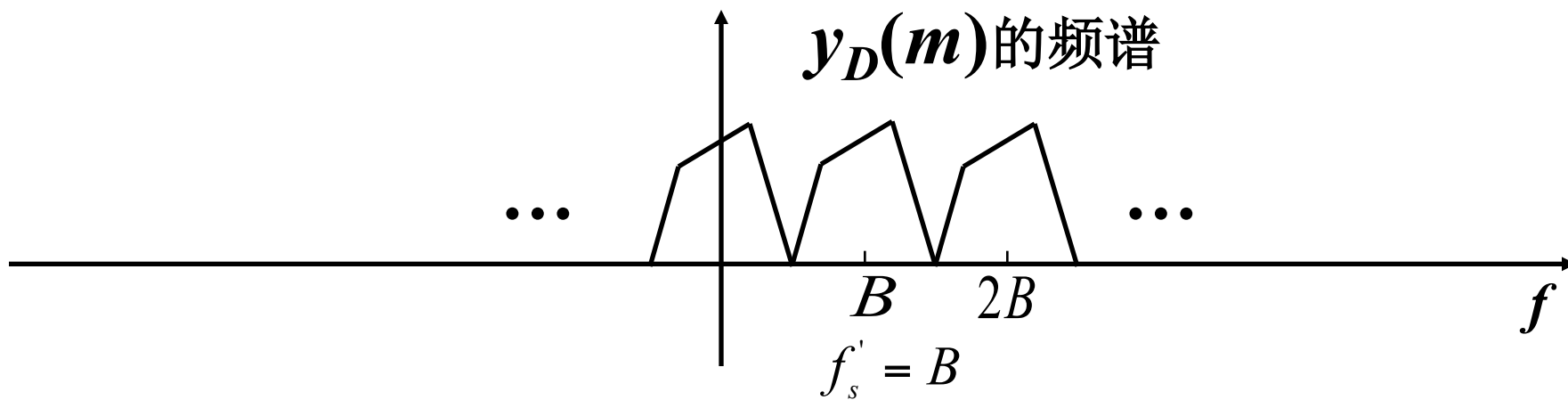
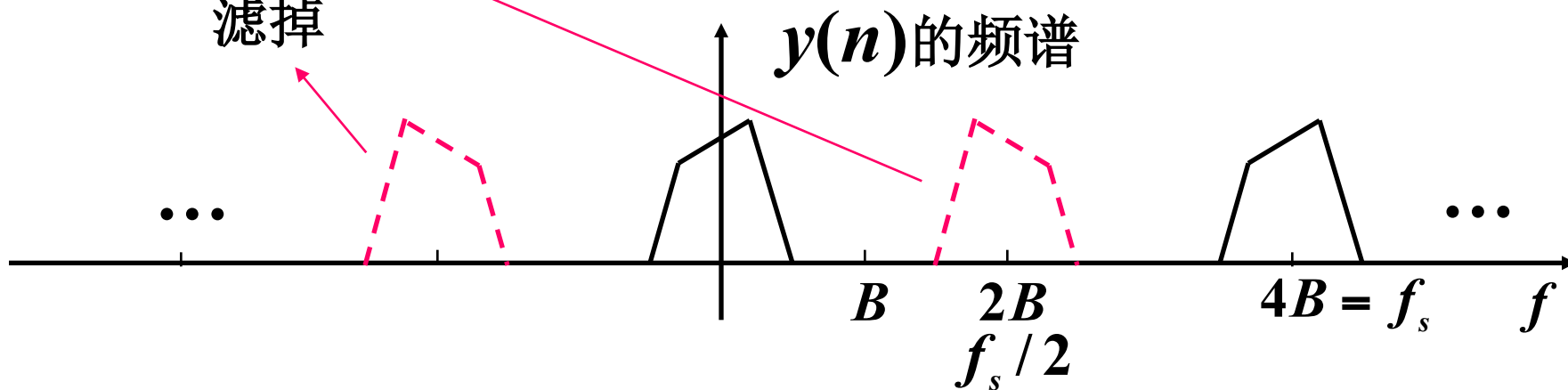


当 $M = 1$ 时

$$f_s = \frac{4f_0}{2M-1} = 4f_0 = 4B$$



被滤波器
滤掉



2.2 多相滤波法

由前述，设输入信号 $x_s(t) = a_s(t)\cos(2\pi f_0 t + \theta_s(t))$

如果采样频率 f_s 满足：

$$f_s = \frac{4f_0}{2M-1} = 4f_0 \quad M=1$$

$$f_s \geq 2B$$

则有

$$x(n) = \begin{cases} (-1)^{n/2} x_I(n) & n \text{ 为偶数} \\ -(-1)^{n-1/2} x_Q(n) & n \text{ 为奇数} \end{cases}$$

$$\begin{array}{ccccccc}
 x(0) & x(1) & x(2) & x(3), \dots, \\
 \downarrow & \downarrow & \downarrow & \downarrow \\
 \{x_I(0), -x_Q(1), -x_I(2), x_Q(3), \dots, \}
 \end{array}$$

对I支路作偶数点2倍抽取，对Q支路作奇数点2倍抽取，即

$$x'_{ID}(m) = x(2m) = (-1)^m x_I(2m)$$

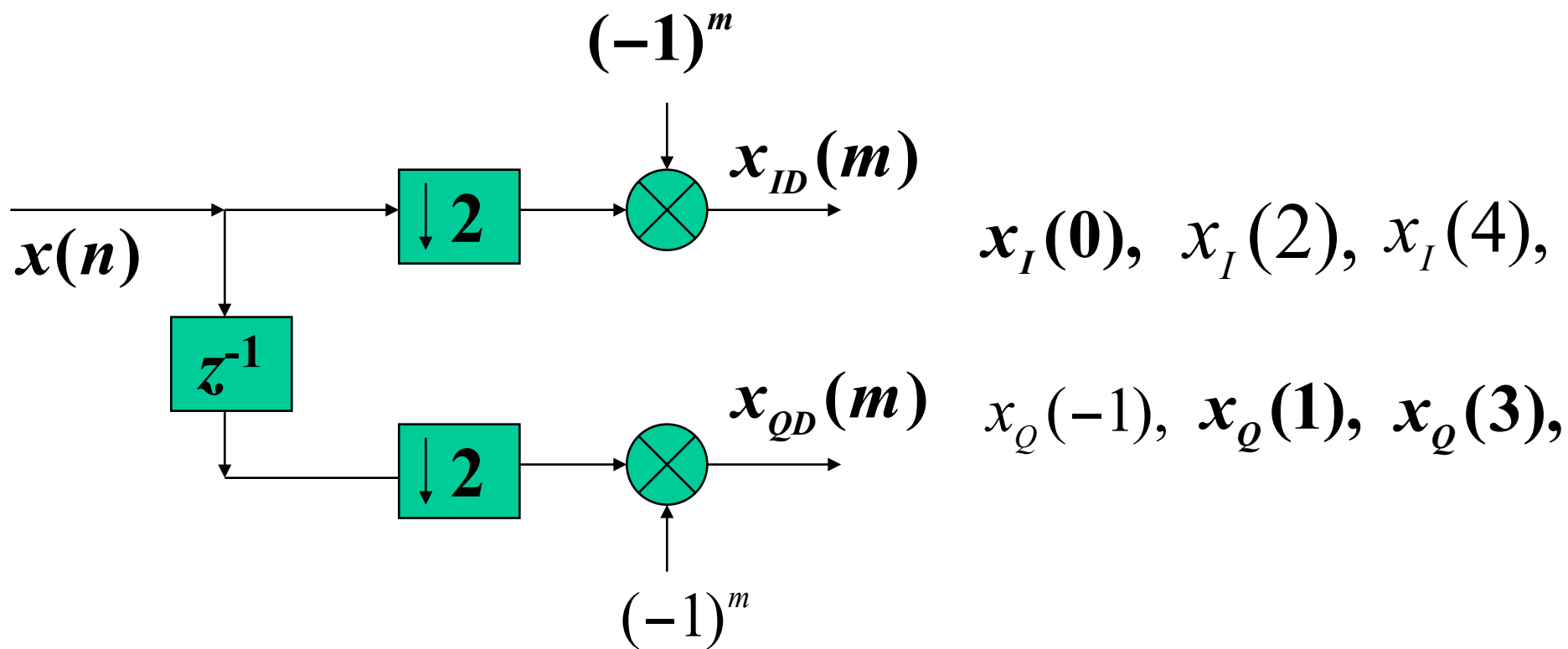
$$x'_{QD}(m) = x(2m-1) = (-1)^m x_Q(2m-1)$$

然后分别作符号变换：

$$x_{ID}(m) = x'_{ID}(m)(-1)^m = x_I(2m)$$

$$x_{QD}(m) = x'_{QD}(m)(-1)^m = x_Q(2m-1)$$

如下图所示：



在时域上， I 支路输出信号和 Q 支路输出信号之间有半个采样周期的时延。

从频域上看， I 支路输出信号的频谱为：

$$\begin{aligned} X_{ID}(e^{j\omega}) &= \sum_{m=-\infty}^{+\infty} x_{ID}(m)e^{-j\omega m} \\ &= \frac{1}{2}X_I(e^{j\omega/2}) + \frac{1}{2}X_I(e^{j(\omega-2\pi)/2}) \end{aligned}$$

其中 $X_I(e^{j\omega})$ 为 $x_I(m)$ （基带信号的实部）的频谱。

如果满足：

$$X_I(e^{j\omega}) = 0, \quad \pi/2 \leq |\omega| \leq \pi$$

则有：

$$X_{ID}(e^{j\omega}) = \frac{1}{2}X_I(e^{j\omega/2}), \quad 0 \leq |\omega| \leq \pi$$

同理，如果满足：

$$X_Q(e^{j\omega}) = 0, \quad \pi/2 \leq |\omega| \leq \pi$$

则有：

$$X_{QD}(e^{j\omega}) = \frac{1}{2} X_Q(e^{j\omega/2}) e^{-j\omega/2}, \quad 0 \leq |\omega| \leq \pi$$

可见，时域上半个采样周期的延时等效为频域上多一个相位因子 $e^{-j\omega/2}$

这种时间上的不对齐可用两个时延滤波器加以修正，这两个滤波器的频响应满足：

$$\begin{cases} H_I(e^{j\omega}) = e^{-j\omega/2} \\ H_Q(e^{j\omega}) = 1 \end{cases}$$

从而得到下列输出序列：

$$x_I(1), \quad x_I(3), \quad x_I(5), \quad \dots$$

$$x_Q(1), \quad x_Q(3), \quad x_Q(5), \quad \dots$$

一种实现方法是：对 I 支路进行 半个样点的内插（利用 N 阶FIR线性相位全通滤波器， N 为偶数），而对 Q 支路只作 $(N/2-1)$ 点的延时。但除非信号带宽比采样频率低很多，否则全通滤波器幅频响应的任何偏差将导致 I 支路和 Q 支路的不匹配。

假设 $N = 6$

$$x_I(0), x_I(2), x_I(4), x_I(6), x_I(8), \dots$$

滤波输出 $x_I(1), x_I(3), x_I(5), \dots$

$$x_Q(-1), x_Q(1), x_Q(3), x_Q(5), x_Q(7), \dots$$

延时输出 $x_Q(-1), x_Q(1), x_Q(3), x_Q(5), \dots$

设 $I = 4$ 的低通滤波器频响为:

$$H(e^{j\omega}) = \begin{cases} 1, & |\omega| \leq \pi / I \\ 0, & otherwise \end{cases}$$

取滤波器长度 $N=32$, 冲击响应为 $h(n)$, 则其多相滤波器结构中各个分支滤波器 $h_k(n) = h(nI+k)$ 为:

h(0)	h(1)	h(2)	h(3)
h(4)	h(5)	h(6)	h(7)
h(8)	h(9)	h(10)	h(11)
h(12)	h(13)	h(14)	h(15)
h(16)	h(17)	h(18)	h(19)
h(20)	h(21)	h(22)	h(23)
h(24)	h(25)	h(26)	h(27)
h(28)	h(29)	h(30)	h(31)

\uparrow \uparrow \uparrow \uparrow
 $h_0(n)$ $h_1(n)$ $h_2(n)$ $h_3(n)$

可以证明，其多相滤波器结构中各个分支滤波器 $h_k(n) = h(nI+k)$ 的频响为：

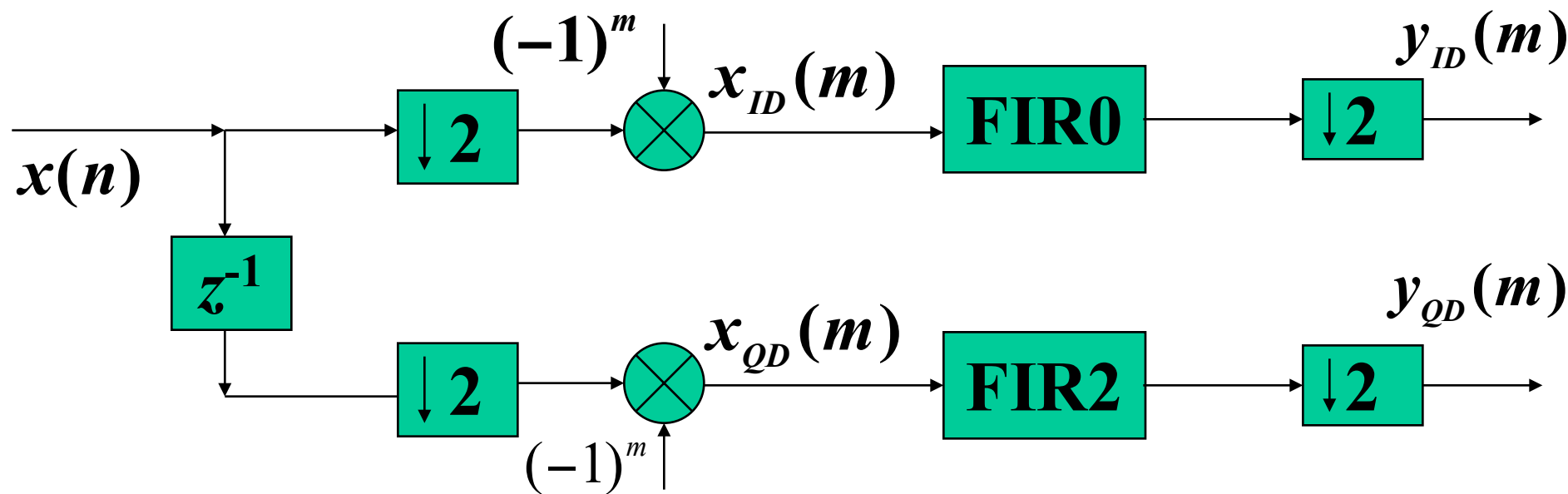
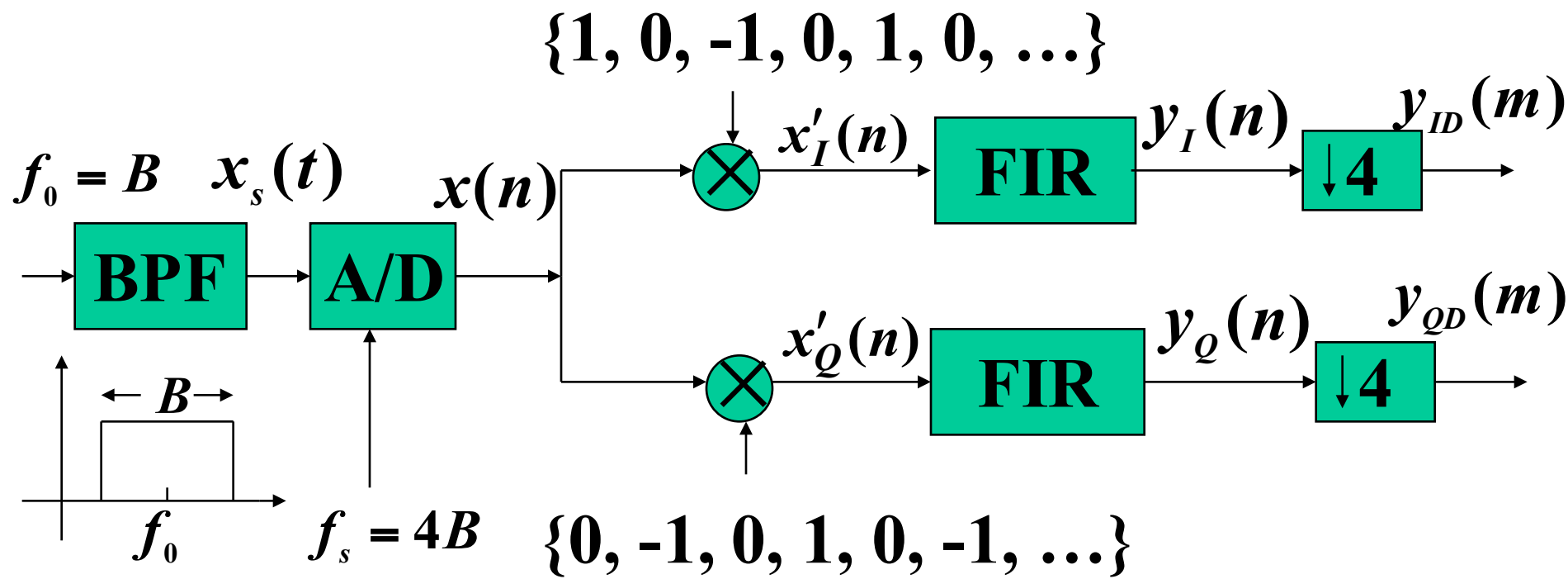
$$H_k(e^{j\omega}) = e^{j\omega k/I} \quad (k = 0, 1, 2, 3)$$

$$= \begin{cases} 1, & \text{for } k = 0 \\ e^{j\omega/4}, & \text{for } k = 1 \\ e^{j\omega/2}, & \text{for } k = 2 \\ e^{j3\omega/4}, & \text{for } k = 3 \end{cases}$$

可以取 $\{H_0(e^{j\omega}), H_2(e^{j\omega})\}$ 或 $\{H_1(e^{j\omega}), H_3(e^{j\omega})\}$

两种方法比较：

多相滤波法由于先进行2倍抽取，滤波器阶数低。



A Double Nyquist Digital Product Detector for Quadrature Sampling

IEEE Transactions on Signal Processing
Vol. 40, No. 7. July 1992